

# 原油脱水技术数值研究

李朝阳<sup>1</sup> 马贵阳<sup>1</sup> 陈林<sup>2</sup> 李巧<sup>3</sup> 郭艳林<sup>2</sup>

1. 辽宁石油化工大学石油天然气工程学院, 辽宁 抚顺 113001

2. 中国石油集团工程设计有限责任公司西南分公司, 四川 成都 610017

## 摘要:

为了解决油田后期开发中含水率较高、原油提纯困难等问题,对含水原油进行研究是必要的。通过密度差、沉降分离等方法对原油进行脱水。目前原油脱水的方法主要有重力法、离心法、化学破乳法、电破乳法、升温破乳法、润湿聚结法等,重力分离和离心式分离器被广泛应用于油田开发中。利用 CFD 方法对波形管、螺旋管油水分离进行数值模拟,得到了油水分离规律:波形管中第 10 个波谷处出现明显油水分离,在波峰处出现最大含油率,波谷处出现最大含水率;螺旋管中,在管道外侧偏下方出现最大分离现象。

## 关键词:

脱水技术;数值研究;螺旋管

文献标识码:A

文章编号:1006-5539(2011)05-0068-04

## 0 前言

在油田开采后期,为了提高产油量,需要采用水驱、二氧化碳驱等方法开采原油<sup>[1]</sup>,大量的水及一些杂质同原油一起开采出来,这给油水分离增加了一定难度。原油中所含水分主要以“油包水”状态存在着,降低了原油的脱水效果。经过初步处理后,可以利用油水密度差法、沉降分离法等方法对原油进行处理。目前原油脱水的方法主要有重力沉降分离、离心力分离、化学破乳、电破乳、升温破乳、润湿聚结等。重力分离具有无动力、无污染、运行费用低等优点<sup>[2]</sup>。离心式分离器体积小、分离效率高,在油田开发中得到了广泛应用<sup>[3-4]</sup>。

目前在实验室中对油水分离进行了一定研究,取得了一些成果。因费用高且管内具体分离特征和流体

流动情况无法确定,而存在不足。随着计算机技术和计算流体力学迅速结合,数值研究方法开始应用于原油脱水的研究<sup>[5-7]</sup>。在前人的基础上,利用 CFD 方法采用 VOF 模型对波形管、螺旋管油水分离进行数值模拟,得到了油水分离规律。

## 1 基本方程

### 1.1 采用 VOF 模型

由于油水不相容,且水相合率较大,采用 VOF 模型。

体积分数方程:

$$\frac{\partial \alpha_q}{\partial t} + \nu_q \nabla \alpha_q = \frac{s_{\alpha_q}}{\rho_q} + \frac{1}{\rho_q} \sum_{p=1}^n (\dot{m}_{pq} - \dot{m}_{qp}) \quad (1)$$

式中  $\dot{m}_{pq}$ ——p 相到 q 相的质量输送;

收稿日期:

2011-02-08

基金项目:

辽宁省教育厅资助项目(L2010245)

作者简介:

李朝阳(1984-),男,安徽亳州人,在读硕士研究生,主要从事原油脱水方面研究与设计工作。

$\dot{m}_{qp}$ ——q 相到 p 相的质量输送;  
 $\mu$ ——湍流粘度, Pa·s;  
 $v$ ——速度, m/s;  
p、q(下标)——液体相 p、q。

如果相下标用 1、2 表示且第二相的体积分数被跟踪,每一单元中的密度为:

$$\rho = \alpha_2 \rho_2 + (1 - \alpha_2) \rho_1 \quad (2)$$

动量方程:

$$\frac{\partial}{\partial t}(\rho \vec{v}) + \nabla(\rho \vec{v} \vec{v}) = -\nabla p + \nabla[\mu(\nabla \vec{v} + \nabla \vec{v}^T)] + \rho \vec{g} + \vec{F} \quad (3)$$

表面张力:

$$F_{vol} = \sigma \vec{y} \frac{\rho k_i \nabla \alpha_i}{0.5(\rho_i + \rho_j)} \quad (4)$$

式中  $\sigma$ ——表面张力系数;

$F_{vol}$ ——表面张力, N。

表面法相量:

$$\hat{n} = \hat{n}_w \cos \theta + \hat{t}_w \sin \theta_w \quad (5)$$

式中  $\hat{n}$ ——壁面单位法向量;

$\hat{t}_w$ ——壁面单位切向量;

$\theta_w$ ——油水接触角。

### 1.2 标准 $k-\varepsilon$ 模型

对于密度比接近 1 的两相流,采用目前广泛使用的标准  $k-\varepsilon$  模型。

$$\begin{aligned} & \frac{\partial(\rho k)}{\partial t} + \frac{\partial(\rho k \mu_i)}{\partial x_i} \\ &= \frac{\partial}{\partial x_j} \left[ \left( \mu + \frac{\mu_t}{\sigma_k} \right) \frac{\partial k}{\partial x_j} \right] + G_k + G_b - \rho \varepsilon - Y_M \quad (6) \\ & \frac{\partial(\rho \varepsilon)}{\partial t} + \frac{\partial(\rho \varepsilon \mu_i)}{\partial x_i} \end{aligned}$$

$$= \frac{\partial}{\partial x_j} \left[ \left( \mu + \frac{\mu_t}{\sigma_k} \right) \frac{\partial k}{\partial x_j} \right] + C_{1\varepsilon} \frac{\varepsilon}{k} (G_k + G_{3\varepsilon} G_b) - C_{2\varepsilon} \rho \frac{\varepsilon^2}{k} \quad (7)$$

湍流粘度:

$$\mu_t = C_\mu \rho \frac{k^2}{\varepsilon} \quad (8)$$

其中

$$\varepsilon = \frac{\mu}{\rho} \left( \frac{\partial u'_i}{\partial x_k} \right) \left( \frac{\partial u'_i}{\partial x_k} \right), G_b = \beta_g \frac{\mu_t}{Pr_t} \frac{\partial T}{\partial x_i},$$

$$G_k = \mu_t \left( \frac{\partial u_i}{\partial x_j} + \frac{\partial u_j}{\partial x_i} \right) \frac{\partial u_i}{\partial x_j}, Y_M = 2\rho \varepsilon M_t^2, M_t = \sqrt{\frac{k}{\alpha^2}}$$

式中  $\rho$ ——密度, kg/m<sup>3</sup>;

$k$ ——湍动能, J;

$u_i, u_j$ ——时均速度, m/s;

$\mu_t$ ——湍流粘度, Pa·s;

$x_i, x_j$ ——空间坐标;

$G_k$ ——平均速度梯度引起的湍动能  $k$  的产生项;

$G_b$ ——浮力引起的湍动能  $k$  的产生项;

$Pr_t$ ——湍动普朗特数, 取 0.85;

$Y_M$ ——可压缩湍流脉动对总耗散率的影响;

$C_{1\varepsilon}, C_{2\varepsilon}, C_{3\varepsilon}, C_\mu$ ——经验常数, 取 1.44、1.92、0.09、0.09;

$g_i$ ——重力加速度在第  $i$  方向的分量;

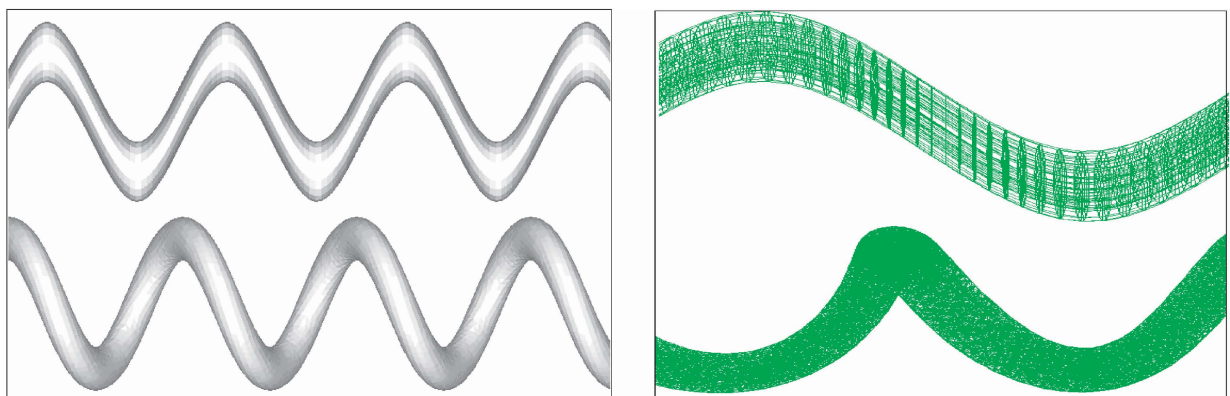
$\beta$ ——热膨胀系数;

$M_t$ ——湍动马赫数;

$\alpha$ ——声速, m。

### 2 模拟结果及分析

波形管进口含水率 20%, 采用 2 m/s 速度入口, 出口为自由出流; 螺旋管进口含水率 20%, 采用 2 m/s 速度入口, 出口为自由出流。波形管管径、波高均为 0.06 m, 波长 0.3 m, 管长 15 m; 螺旋管管径 0.06 m, 螺



a) 管道局部模型

b) 网格局部放大图

图 1 管道模型

距 0.3 m, 回转半径 0.06 m, 50 圈数。管道模型见图 1a), 采用四面体和六面体结合的网格对计算模型进行网格划分, 局部网格放大图见图 1b)。

## 2.1 波形管

图 2 为管壁处水相体积分布。由图 2 可知, 原油刚进入波形管时, 油水分离现象不明显, 在第 10 个波长处出现第一个高含水区。稍后在每隔一定波长出现一个高含水区。这是波纹状管使过流断面发生变化, 影响原油速度的大小和方向, 增加了油滴的碰撞率。通过凝结吸附作用, 油滴在运动过程中不断增大, 在波纹管表面形成油膜, 到达一定管长时出现最大油水分离现象。由于流体的不断冲刷, 其沿板面脱落, 加之重力影

响最终波谷处出现最大含水率。由图 3 可以明显看出, 在原油进入管道 10 个波长时才发生明显油水分离, 每间隔一定波长, 在外壁出现高含水区。从图 4 可以看出, 高含水区出现在波谷处。综合图 3~4 可知, 波形管中油水在波谷偏下出现最大油水分离现象。

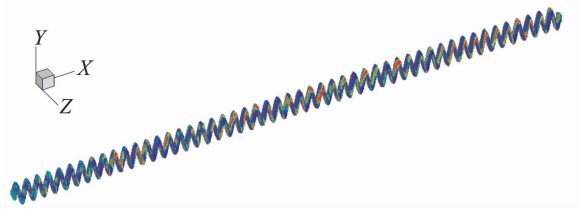


图 2 波形管管壁水相体积分数

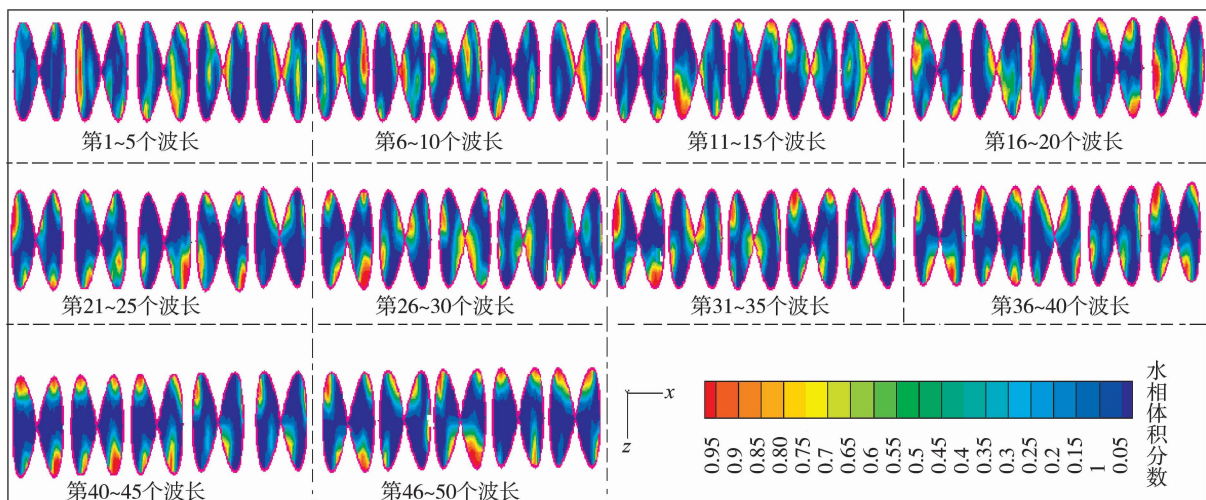


图 3  $Y=0$  切面水的体积分布

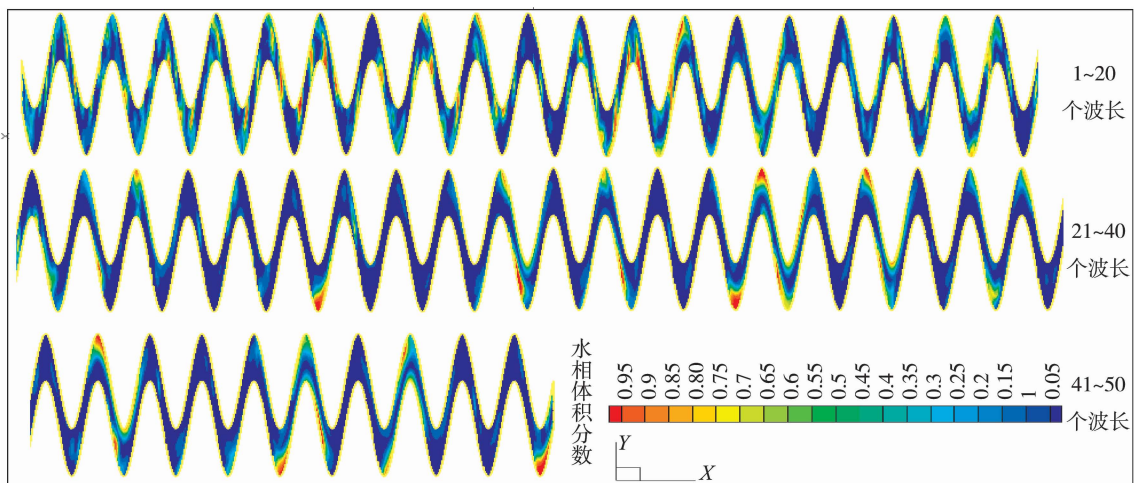


图 4  $Z=0$  切面水的体积分布

## 2.2 螺旋管

图 5 为螺旋管壁水相体积分布, 原油进入螺旋管后, 在离心力及重力作用下, 开始出现油水分离。由于重力和离心力共同作用, 出现油水分离的距离比波形管要短, 分离效果要好。在沿轴向内侧偏下方出现最

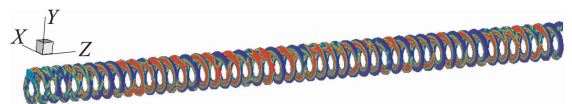


图 5 螺旋管壁水相体积分布图

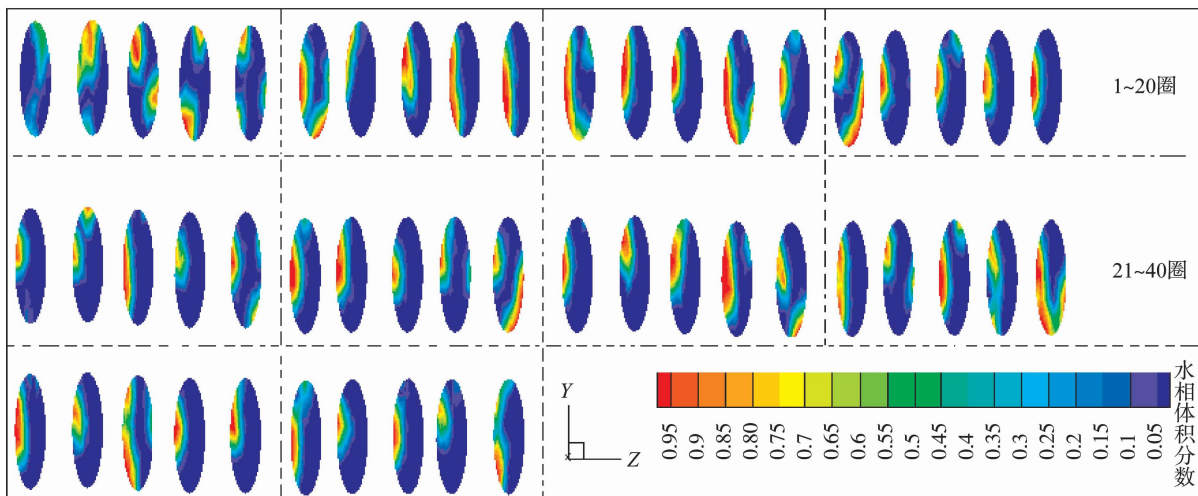


图 6 X=0 切面上水相体积分布图

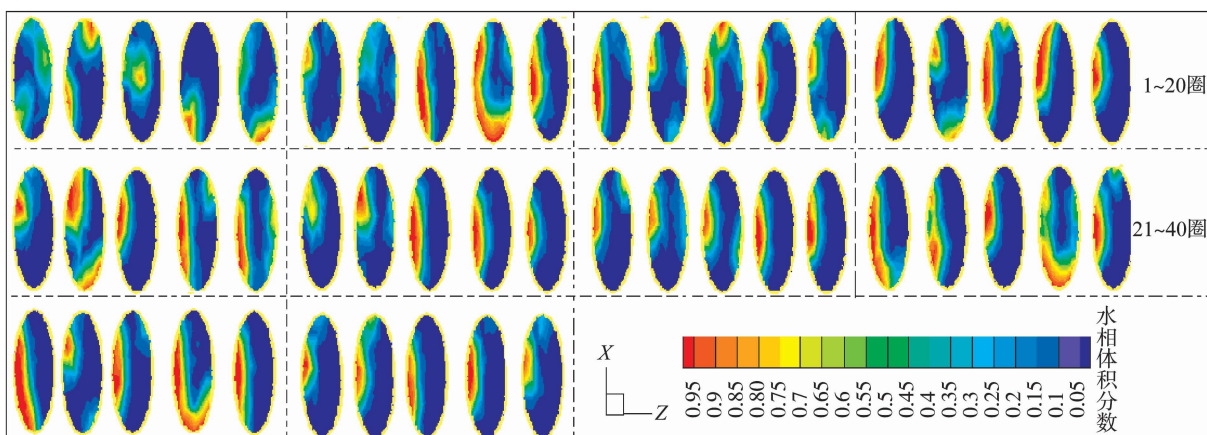


图 7 Y=0 切面上水相体积分布图

大含水率。图 6~7 给出了管道各个截面的水相体积分布。由图 6~7 可知管道形状变化,使已分离的油水出现了再混合的情况。为了避免该情况,需要在螺旋管上一定距离处开设出口。综合图 6~7 可知,第 9、24、36、41 圈处油水分离现象比较明显且稳定,在此位置附近开设出口比较合理。

### 3 结论

a) 波形管中,在第 10 个波谷处出现明显油水分离,在波峰处出现最大含油率,波谷处出现最大含水率。

b) 螺旋管中,由于重力和离心力共同作用,在管道外侧偏下方出现最大分离现象。为了避免油水再混合的现象,第 9、24、36、41 圈附近开设出口较合理。

本文未考虑出口的情况下对管道内的原油脱水现象进行了数值模拟,这将与实际情况有一定差别,但也能反映了管道内的油水分离趋势,为原油脱

水技术的改进提供了一定的理论基础。

#### 参考文献:

- [1] 王晓强,景军军.三相分离器在天然气处理厂的应用[J].天然气与石油,2009,27(2):26-29,68.
- [2] 孙治谦,王振波,吴存仙,等.油水重力分离过程油滴浮升规律的实验研究[J].过程工程学报.2009,9(1):23-27.
- [3] 孙莉英.含油废水处理技术进展[J].华中科技大学学报,2002,19(2):87-90.
- [4] 曹建树,李卫清.新型波纹板油水分离器的应用研究[J].流体机械,2005,33(9):1-3.
- [5] 王国栋,何利民,吕宇玲,等.重力式分离器的分离特性研究[J].石油学报,2006,27(6):112-115.
- [6] 王福军.计算流体动力学分析——CFD 软件原理与应用[M].北京:清华大学出版社,2004.
- [7] 陈国谦,李行伟.热泡数值研究[J].水动力学研究与进展(A辑)2000,15(4):411-423.